



Düzce Üniversitesi Bilim ve Teknoloji Dergisi

Araştırma Makalesi

Kaldırma Kuvveti ve Yüzey Işınımının Eğik Bir Plakanın Çarpan Jet ile Soğutulmasına Etkilerinin Sayısal Olarak İncelenmesi

 Buğra SARPER ^{a,*}

^a Makine Mühendisliği Bölümü, Mühendislik Fakültesi, Tarsus Üniversitesi, Mersin, TÜRKİYE

* Sorumlu yazarın e-posta adresi: bugrasarper@tarsus.edu.tr

DOI: 10.29130/dubited.1280558

Öz

Bu çalışmada, eğik bir plakanın tek bir slot jet ile soğutulmasında kaldırma kuvveti ve yüzeyler arası ışınımın taşınımıla ısı transferine etkileri sayısal olarak incelenmiştir. Çalışma jet Reynolds sayısının (Re_j) 100 ile 1000 değerleri arasında gerçekleştirilmiş olup Richardson sayısı (Ri) ise 0.1 ile 10 arasında değişmektedir. Yüzeyler arası ışınımla ısı transferinin genel ısı transfer performansına etkileri hedef plaka ve sınırlandırıcı yüzeylerin üç farklı yayıcılık ($\epsilon=0.05-0.5-0.95$) değeri ve üç farklı eğim açısı ($\alpha=0^\circ-5^\circ-10^\circ$) için analiz edilmiştir. Boyutsuz hedef plaka-nozul çapı mesafesi (H/D_j) 4'e eşit olup havanın ($Pr=0.71$) ışınım açısından katılımcı olmadığı kabulüyle hesaplamalar gerçekleştirilmiştir. Çalışma sonucunda, yüksek Richardson sayılarında kaldırma kuvvetinin akış ve ısı transfer karakteristiklerinin üzerindeki etkisinin ihmali edilemeyecek düzeyde olduğu, yüzey yayıcılığının artışının ise genel ısı transfer performansını iyileştirdiği ve plaka eğiminin ısı transferini önemli ölçüde etkilediği belirlenmiştir.

Anahtar Kelimeler: Çarpan jet, Taşınım, ışınım, Yüzey yayıcılığı, Kaldırma kuvveti, Eğim

Numerical Investigation of the Effects of Buoyancy and Inter-Surface Radiation on Jet Impingement Cooling of an Inclined Plate

ABSTRACT

In this study, effects of buoyancy and inter-surface radiation on convective heat transfer from an inclined plate cooled by a slot jet are numerically investigated. The study is carried out between the values of jet Reynolds number (Re_j) 100 and 1000, and the Richardson number (Ri) varies between 0.1 and 10. Impact of inter-surface radiation on the overall heat transfer performance is analyzed for three emissivity ($\epsilon=0.05-0.5-0.95$) values of the target plate and confined surfaces and three different inclination angles ($\alpha=0^\circ-5^\circ-10^\circ$) of the target plate. The dimensionless nozzle-to-target plate spacing (H/D_j) equals to 4, and computations are performed assuming that air ($Pr = 0.71$) is not participating for radiation. As a result of the study, it is determined that effect of buoyancy on the flow and heat transfer characteristics at high Richardson numbers cannot be neglected, while the increase in surface emissivity improves the overall heat transfer performance and inclination of the target plate significantly affects the heat transfer.

Keywords: Jet impingement, Convection, Radiation, Surface emissivity, Buoyancy, Inclination

I. GİRİŞ

İmalat süreçleri içerisinde malzemelerin soğutulması ve ıslı işleme tabi tutulması [1], elektronik bileşenlerin soğutulması, optik yüzeylerde oluşan bugunun çözülmesi amacıyla yüzeylerin ısıtılması, türbin bileşenlerinin soğutulması, kritik makine elemanlarının soğutulması gibi birçok endüstriyel proseste çarpan jetler yoğun şekilde kullanılmaktadır. Bununla birlikte, kurutma ve küçük partiküllerin yüzeyden temizlenmesi gibi kütle transferi uygulamaları da çarpan jetlerin kullanıldığı alanlardır [2]. Faz değişimi bulunmayan diğer ıslı transferi metotları ile karşılaşıldığında çarpan jetler daha yüksek ıslı transferi vadettmektedir. Örneğin, çapraz akışın kullanıldığı konvansiyonel taşınım ile karşılaşıldığında jet akışında ıslı sınır tabakanın çapraz akışa oranla daha ince olması ve akışın daha erken turbülansa geçmesi ıslı transfer katsayısında üç kata kadar artışı beraberinde getirir [2]. Dolayısıyla, yüksek ıslı transfer hızlarının elde edilebilmesi ve akış karakteristiklerinin karmaşık doğası çarpan jetleri ilgi çekici bir araştırma alanı kılmaktadır [3].

Literatürde çarpan jetler ile akış ve ıslı transfer karakteristiklerini araştıran çok sayıda çalışma bulunmaktadır. Gardon ve Akfirat [4], Reynolds sayısının 450 ile 22000 aralığında farklı jet-plaka açıklıkları için hız, turbülans ve ıslı transfer karakteristiklerini araştırmak amacıyla deneysel bir çalışma gerçekleştirdiler. Cadek [5] düz bir hedef plakanın çarpan jet ile soğutulmasında yerel ve ortalama ıslı transfer karakteristiklerini deneySEL ve teorik olarak inceledi. Araştırmacı, Reynolds sayısının 4500 ile 100000 değerleri arasında hız, basınç ve ıslı transfer ölçümleri gerçekleştirmiştir. Miyazaki ve Silberman [6] laminer çarpan jet ile akış ve ıslı transferini teorik olarak ele aldılar. Araştırmacılar ilk olarak potansiyel akım teorisini ile hız alanını incelediler, sonrasında ise sonlu fark yöntemi ile hedef plaka üzerinde sürtünme katsayısı ve Nusselt sayısı değişimini belirlediler. Sparrow ve Wong [7] farklı hedef plaka-jet mesafelerinde laminer jet için durma noktasındaki ıslı transferini ve hedef plaka üzerindeki yerel Nusselt sayısını değişimini deneySEL olarak incelediler. Heininger [8] düz bir levhanın slot jet ile soğutulmasını geniş bir Reynolds sayısı aralığında deneySEL ve sayısal olarak araştırdı. Garg ve Jayaraj [9] jet çarpması açısının yerel ıslı transferi ve sürtünme katsayısı değişimine etkilerini sayısal olarak incelemiştir. Yuan vd. [10] laminer çarpan jet ile ıslı transferine jet mesafesi, Reynolds sayısı, Grashof sayısı ve Richardson sayısının etkilerini sayısal olarak ele aldılar. Çalışmada, belirtilen parametrelerin yüzey sürtünme katsayısı, sıcaklık değişimi ve ıslı taşınım katsayısının değişimine olan etkileri değerlendirilmiş olup durma bölgesinde uzaklaşıkça kaldırma kuvvetinin etkisinin arttığını belirlemiştir. Lytle ve Webb [11] düz bir yüzeyin çarpan jet ile soğutulmasını Reynolds sayısının 3600 ve 27600 değerleri arasında incelemiştir. Çalışmada yerel ıslı transferi ve yüzey sürtünme katsayısı değişimini üzerinde durulmuş olup düşük jet-levha açıklıklarında turbülans şiddetinin daha yüksek olduğu belirlenmiştir. Lin vd. [12] laminer-geçiş rejimi ve turbülanslı rejimde çarpan jet ile ıslı transferini deneySEL olarak ele almışlardır. Çalışmada iki farklı deney koşulu çalışılmıştır: (i) yüksek güç yoğunluklu elektronik çiplerin soğutulması, (ii) sabit yüzey ıslı akışına sahip düz bir yüzeyin soğutulması. Araştırmacılar jet karakteristiklerinin ortam havasından büyük ölçüde etkilendiğini, Reynolds sayısının 1226'dan küçük değerlerinde turbülans şiddetinin %5'ten küçük olduğunu ve turbülans başlangıcının $Re \geq 1226$ 'da gerçekleştiğini belirlemiştir. Yang vd. [13] farklı nozul tipleri ve nozul-hedef plaka mesafeleri için Reynolds sayısının 5920 ve 25500 değerleri arasında, çarpan jet ile soğutulan bir yüzeyin ıslı transfer karakteristiklerini incelemiştir ve nozul tipinin ıslı transferi üzerinde önemli etkisinin bulunduğu konuyu, konkav yüzeyden olan ıslı transferinin ise düz yüzeye oranla daha yüksek olduğunu belirlemiştir. Cornaro vd. [14] bağıl eğriliğin (0.18-0.38) yarı silindirik içbükey bir yüzeyin ıslı transfer davranışına etkilerini deneySEL olarak sıvı kristal yöntemi ile incelemiştir. Chiriac ve Ortega [15] sabit sıcaklığındaki düz bir yüzeyin çarpan jet ile soğutulmasını Reynolds sayısının 250 ile 750 değerleri arasında sayısal olarak incelemiştir. Araştırmacılar jet Reynolds sayısının 250 ile 500 değerleri arasında akışın sürekli rejimde olduğunu, jet Reynolds sayısının 585 ve 610 aralığında ise akışın zamana bağlı karakteristik sergilemeye başladığını belirlemiştir. Sahoo ve Sharif [16] farklı jet-levha mesafeleri (4-10), Richardson sayıları (0-10) ve Reynolds sayıları (100-500) için düz bir yüzeyden çarpan jet ile ıslı transferini sayısal olarak analiz etmişlerdir. Çalışma kapsamında iki farklı konfigürasyon üzerinde durulmuş olup ilkinde jet nozulu aşağı yönlü iken ikincisinde nozul yukarı bakmaktadır. Araştırmacılar, çalışma sonucunda belirtilen Richardson sayısı aralığında kaldırma kuvvetinin akış karakteristiklerine etki etmediğini ve nozul konfigürasyonunun da akış ve ıslı transferi

üzerinde etki göstermediğini belirlemiştir. Angioletti vd. [17] çarpan jet ile ısı transferini Reynolds sayısının 1000 ile 4000 aralığında deneysel olarak incelemiştir ve verilerini farklı türbülans modelleri kullanılarak sayısal olarak hesaplanan sonuçlarla karşılaştırmışlardır. Hu ve Zhang [18] Reynolds sayısının 1947 ile 19478 aralığında su jeti ile soğutulan düz ve yarı silindirik yüzeylerden ısı transferini farklı jet-levha mesafeleri için incelemiştir ve dışbükey yüzeyin ısı transfer performansının düz yüzeye oranla daha yüksek olduğunu belirlemiştir. Lemos ve Fischer [19] düz bir yüzey üzerinde konumlandırılan gözenekli malzemenin kalınlık, ıslı iletkenlik ve gözeneklilik gibi karakteristik özelliklerinin akış ve ısı transferine etkilerini sayısal olarak analiz etmiştir. Abishek ve Narayanaswamy [20] yüzeyler arası ışınım ve kaldırma kuvvetinin düz bir yüzeyin slot jet ile soğutulmasına etkilerini sayısal olarak incelemiştir. Çalışmada Reynolds ve Richardson sayıları, yüzeylerin yayıcılıkları, kanal yüksekliği ve ışınım etkileşim parametresinin etkileri üzerinde durulmuş ve ışınım etkileşim parametresinin artışıyla birlikte ışınımın toplam ısı transfer hızı içerisindeki payının arttığı belirlenmiştir. Cavadas vd. [21] sınırlandırıcı yüzeyi 12° lik eğime sahip akış bölgesinde tam gelişmiş sıvı jetinin akış karakteristiklerini laminer rejimde ($Re=275$) deneysel ve sayısal olarak incelemiştir. Öztekin vd. [22,23] konkav yüzeylerin slot jet ile soğutulmasında Reynolds sayısı, hedef plakanın boyutsuz bağıl eğriliği ve boyutsuz jet mesafesinin hidrodinamik ve ıslı etkilerini deneysel ve sayısal olarak analiz etmiştir. Yousefi-Lafouraki vd. [24] daralan bir kanalda sınırlı çarpan jet ile ısı transferini laminer rejimde farklı daralma açıları (0° - 5°) için sayısal olarak incelemiştir ve artan daralma açısının ortalama Nusselt sayısı ve yüzey sürtünme katsayısını artırdığını belirlemiştir. Sharif [25] bir çift eğimli jet ile soğutulan bir yüzeyden taşınımıla ısı transferini sayısal olarak incelemiştir ve jet açısının ısı transfer karakteristikleri üzerindeki etkisinin yadsınamaz olduğunu belirlemiştir. Ying vd. [26] hedef plakanın eğriliğinin yerel ve ortalama ısı transfer karakteristiklerine etkilerini Reynolds sayısının 27000 ile 130000 aralığında incelemiştir. Ekiciler vd. [27] düz ve üçgen forma sahip dalgalı bir plakaların nanoakışkan (Al_2O_3) jeti ile soğutulmasında nanoparçacık şeklinde ve nanoparçacık hacim oranının ısı transferine etkilerini Reynolds sayısının 100 ile 500 değerleri arasında sayısal olarak incelediler. Pulat ve Beyazoğlu [28] Reynolds sayısının 10200 değerinde sınırlandırıcı plakanın farklı eğim açılarında (-2° , 0° , 2° , 4° , 6° and 8°) slot jet ile ısı transferini sayısal olarak incelemiştir. Araştırmacılar plaka eğiminin 8° 'ye artışıyla birlikte ısı transferinde %18'e varan bir iyileşme ortaya çıktığını belirlemiştir. Han vd. [29] jet mesafesi ve yüzey geometrisinin (düz, içbükey ve dışbükey) çarpan jet ile soğutmaya etkilerini Reynolds sayısının 120 ile 600 aralığında deneysel olarak incelemiştir. Albayrak vd. [30] içbükey yarı silindirik bir yüzeyin slot jet ile soğutulmasında yüzeyler arası ışınımın etkilerini farklı yayıcılık değerleri ($\epsilon=0.05$, 0.45 , and 0.90) için Reynolds sayısının 1185, 2370, 3555 ve 4740 değerlerinde sayısal olarak analiz etmiştir. Araştırmacılar, çalışma sonucunda Reynolds sayısının artışının yüzeyler arası ışınımı zayıflattığını belirlemiştir. Singh vd. [31] spiral jet nozulu ile soğutulan bir levhadan taşınımıla ısı transferini farklı jet-plaka mesafeleri, jet Reynolds sayıları ve jet açıları için deneysel olarak incelemiştir.

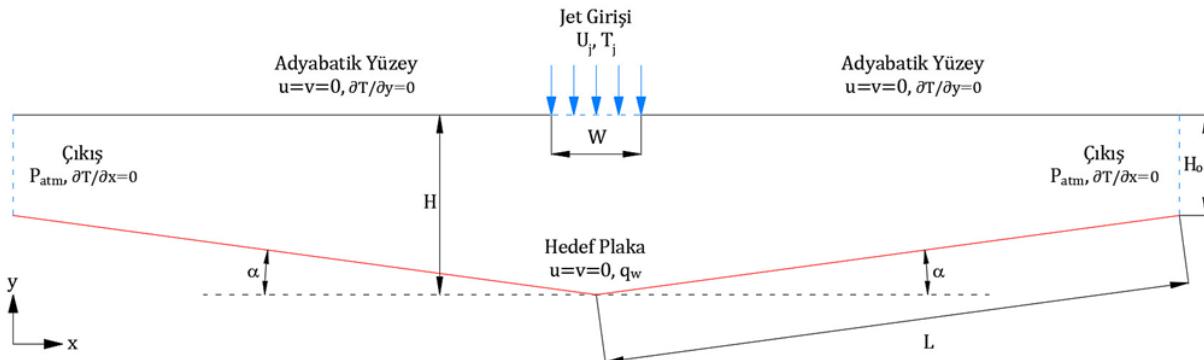
Literatür özetinden görüldüğü gibi, çarpan jetler üzerine yürütülen çalışmaların çoğunluğu düz, içbükey ya da dışbükey yüzeylerin ısı transfer davranışlarının türbülanslı rejimde farklı Reynolds sayıları ve farklı jet-plaka mesafeleri için incelenmesine yöneliktir. Bununla birlikte, az sayıda çalışma düşük Reynolds sayılarında-laminer rejimde kaldırma kuvveti ve yüzeyler arası ışınımın akış ve ısı transfer karakteristiklerine etkilerini araştırmıştır. Bu çalışmanın amacı ise, eğim açısı değişen bir hedef plakanın tek bir slot jet ile soğutulmasında kaldırma kuvveti ve yüzeyler arası ışınımıla ısı transferinin genel soğutma performansına olan etkilerini incelemektir.

II. MATERİYAL VE METOT

A. PROBLEM GEOMETRİSİ

Bu çalışmada, sabit ısı akısı ile ısıtılmakta olan ve eğim açısı değişken olan düz bir hedef plakanın slot jet ile soğutulmasında kaldırma kuvveti ve yüzeyler arası ışınımın akış ve ısı transfer karakteristiklerine olan etkileri analiz edilmektedir. Ele alınan problemin geometrisi ve kullanılan sınır koşulları Şekil 1'de

verilmiştir. Hava, akış bölgesine W genişliğindeki slot jet nozulundan girmekte olup nozul genişliği 10 mm'dir. Eğimli hedef plakanın x-ekseni ile arasındaki eğim açısı α , levhanın toplam uzunluğu ise 400 mm'dir. Hedef plaka ile jet nozulu arasındaki en geniş bölge (H) 40 mm olup çıkış genişliği (H_o) hedef plaka ile x-ekseni arasındaki eğim açısına bağlı olarak farklı değerler almaktadır.



Sekil 1. Problemin şematik gösterimi ve sınır koşulları

B. SAYISAL METOT VE SINIR KOŞULLARI

Problem ANSYS Fluent yazılımı kullanılarak 2-boyutlu ve zamana bağlı olarak analiz edilmiştir. Çalışmanın amacı yüzeyler arası ıshının ve kaldırma kuvvetinin eğik plakanın genel ısı transfer performansına etkilerini incelemek olduğundan dolayı taşınımla ısı transferine ek olarak yüzeyler arası ıshımla ısı transferi (S2S) ıshımlı modeli kullanılarak hesaplanmıştır. Kaldırma kuvvetinin akış ve ısı transferine etkisi ele alınırken havanın yoğunluğunundaki değişim sıkıştırılamaz ideal gaz modeli kullanılarak modellenmiştir [32]. SIMPLE algoritması hız-basınç çiftinin çözümü amacıyla kullanılırken, momentum ve enerji denklemleri 2. dereceden akış yönlü fark şeması ile ayırtlaştırılmış, basınç interpolasyonu ise kaldırma kuvveti etkisindeki akışlar için önerilen PRESTO algoritması ile gerçekleştirılmıştır [33].

Yukarıda belirtildiği gibi, problem 2-boyutlu olarak zamana bağlı ve laminer rejimde incelenmiştir. Lin vd. [12] gerçekleştirdikleri deneysel çalışmada Reynolds sayısının 1500 altındaki değerlerinde türbülans şiddetinin oldukça düşük olduğunu belirtmişlerdir. Abishek ve Narayanaswamy [20] $Re_j \leq 1000$ iken akışın laminer olduğunu, Chiriac ve Ortega [15] ise $Re_j \geq 500$ iken akış dinamiğinin zamana bağlı olduğunu belirtmişlerdir. Bu sebeple, $100 \leq Re_j \leq 1000$ aralığında akışın laminer ve zamana bağlı olduğu kabulüyle hesaplamalar gerçekleştirılmıştır. Laminer rejimde zamana bağlı akış için Navier-Stokes ve enerji denklemleri aşağıda verilmiştir:

Süreklik denklemi:

$$\frac{\partial u}{\partial x} + \frac{\partial v}{\partial x} = 0 \quad (1)$$

x-doğrultusundaki momentum denklemi:

$$\frac{\partial u}{\partial t} + u \frac{\partial u}{\partial x} + v \frac{\partial u}{\partial y} = - \frac{1}{\rho} \frac{\partial p}{\partial x} + v \left(\frac{\partial^2 u}{\partial x^2} + \frac{\partial^2 u}{\partial y^2} \right) \quad (2)$$

y-doğrultusundaki momentum denklemi:

$$\frac{\partial v}{\partial t} + u \frac{\partial v}{\partial x} + v \frac{\partial v}{\partial y} = - \frac{1}{\rho} \frac{\partial p}{\partial y} + v \left(\frac{\partial^2 v}{\partial x^2} + \frac{\partial^2 v}{\partial y^2} \right) + g\beta(T - T_j) \quad (3)$$

Enerji denklemi:

$$\frac{\partial T}{\partial t} + u \frac{\partial T}{\partial x} + v \frac{\partial T}{\partial y} = \frac{k}{\rho c_p} \left(\frac{\partial^2 T}{\partial x^2} + \frac{\partial^2 T}{\partial y^2} \right) \quad (4)$$

Sürekliklilik, momentum ve enerji denklemlerinde u ve v terimleri x ve y -doğrultularındaki hız bileşenlerini; T ve p terimleri sıcaklık ve basıncı; ρ , k , v ve c_p ise havanın yoğunluğunu, ısıl iletkenliğini, kinematik viskozitesini ve özgül ısısını temsil etmektedir.

Akış bölgesini çevreleyen hedef plaka ve adyabatik yüzeyler arasındaki ıshının etkileşimi S2S ıshının modeli kullanılarak modellenirken yüzeylerin difüz ve gri olduğu kabul edilmiştir. Havanın ise ıshının açısından katılımcı olmadığı kabul edilmiştir. Bu kabuller doğrultusunda S2S model denklemleri aşağıdaki şekilde ifade edilir [33,34]:

$$q_{in,k} = \sum_{j=1}^n F_{kj} q_{out,j} \quad (5)$$

$$J_k = E_k + \rho k \sum_{j=1}^n F_{kj} J_j \quad (6)$$

(5) numaralı denklem k yüzeyine gelen ıshının akışını hesaplamak için kullanılırken, (6) numaralı denklem ise k yüzeyinin yaptığı ıshımı hesaplamak için kullanılır. (5) ve (6) numaralı denklemlerde E_k ve F_{kj} , terimleri sırasıyla k yüzeyinin ıshının yayma gücünü ve k ve j yüzeyleri arasındaki şekil faktörünü temsil etmektedir.

Yukarıda belirtildiği gibi, akışkanın yoğunluğundaki değişim sıkıştırılamaz ideal gaz modeli kullanılarak modellenmiştir [32,33]:

$$\rho = \frac{p_{op}}{\frac{R}{M_w} T} \quad (7)$$

Burada, p_{op} çalışma basıncını, R evrensel gaz sabitini, M_w havanın molekül ağırlığını temsil etmektedir.

Kullanılan sınır koşulları, problem geometrisi ile birlikte Şekil 1'de verilmiştir. Hava, akış bölgesine uniform hız (U_j) ve sıcaklıkta (T_j) girmekte olup jet sıcaklığı 300 K'dır. Akış bölgesinin çıkışında ise basınç çıkışı sınır koşulu kullanılmış olup akışkan basıncı atmosfer basıncına eşit alınmıştır. Eğimli hedef plaka sabit ısı akısı ile ısıtılrken akış bölgesini sınırlayan üst yüzeyler ise adyabatiktır. Bununla birlikte, her iki yüzeye de hidrodinamik olarak kaymama sınır koşulu kullanılmıştır. Yüzeyler arası ıshımla ısı transferi hesaplanırken giriş ve çıkış sınırlarının yayıcılıkları (ε) 1'e eşit alınmış olup hedef plaka ve adyabatik yüzeylerin yayıcılıkları ise 0.05, 0.5 ve 0.95 olmak üzere farklı değerler almaktadır.

C. KULLANILAN PARAMETRELER

Çalışmada düşük akışkan hızlarında, yüzeyler arasındaki ıshının ve kaldırma kuvvetinin genel soğutma performansına etkileri analiz edilmektedir. Bu doğrultuda, farklı Richardson sayıları ve plaka eğimlerinde hedef plaka yüzeyinde taşınım Nusselt sayısı (Nu_c), ıshının Nusselt sayısı (Nu_r) ve toplam Nusselt sayısının (Nu_t) değişimi hesaplanmıştır.

Akış bölgesinin girişinde jet Reynolds sayısı aşağıdaki şekilde hesaplanır:

$$Re_j = \frac{\rho U_j W}{\mu} \quad (8)$$

Burada, U_j ve μ terimleri sırasıyla jet hızı ve havanın dinamik viskozitesini temsil etmektedir.

Hedef plaka sabit ısı akısı ile ısıtılmakta olup Grashof sayısı ısı akısının fonksiyonudur. Düzeltilmiş Grashof sayısı hesaplamalar boyunca sabit tutulmuş olup 10^5 'e eşit alınmış ve aşağıdaki şekilde hesaplanmıştır:

$$Gr^* = \frac{g\beta\Delta T_{ref}W^3}{v^2} \quad (9)$$

Burada, g ve β terimleri sırasıyla yerçekimi ivmesi ve havanın hacimsel genleşme katsayısını temsil etmektedir. ΔT_{ref} terimi ise referans sıcaklık farkını temsil etmekte olup aşağıdaki şekilde hesaplanır:

$$\Delta T_{ref} = \frac{qW}{k} \quad (10)$$

Burada, q terimi hedef plaka yüzeyindeki toplam ısı akısını temsil etmektedir.

Yukarıda belirtildiği gibi, düzeltilmiş Grashof sayısı toplam ısı akısının fonksiyonu olup hesaplamalar boyunca sabit tutulmuştur. Dolayısıyla, Richardson sayısı jet Reynolds sayısına bağlı olarak değişmektedir. Richardson sayısı aşağıdaki şekilde hesaplanır:

$$Ri = \frac{Gr^*}{Re_j^2} \quad (11)$$

Hedef plaka yüzeyindeki taşınım ve ışınım Nusselt sayıları sırasıyla aşağıdaki şekilde hesaplanır [20,35]:

$$Nu_c = \frac{q_c}{k \Delta T / W} \quad (12)$$

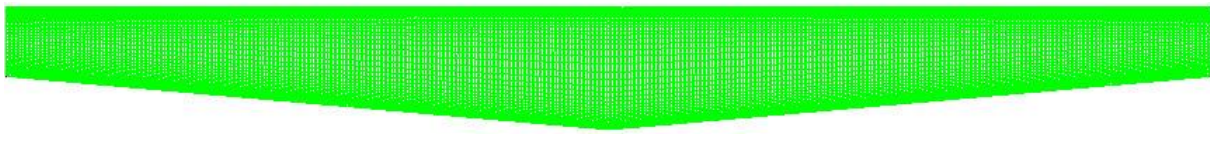
$$Nu_r = \frac{q_r}{k \Delta T / W} \quad (13)$$

Toplam Nusselt sayısı ise aşağıdaki şekilde hesaplanır [20,36]:

$$Nu_t = Nu_c + Nu_r \quad (14)$$

D. AĞ YAPISI VE ÇALIŞMANIN DOĞRULANMASI

Sayısal hesaplamalarda dikdörtgen ağ yapısı kullanılmıştır. Şekil 2'de verilen ağ yapısı, akış bölgesini sınırlayan hedef plaka ve adyabatik yüzeylere doğru yoğunlaşıırken akış bölgesinin merkezinde ağ yoğunluğu daha düşüktür. Ağ bağımsızlık çalışmaları 6250 ile 51408 hücre sayısı aralığında gerçekleştirilmiş ve her bir hücre sayısında hedef plaka yüzeyindeki toplam Nusselt sayısının ortalama değeri hesaplanarak ardışık hücre sayıları için hesaplanan değerler karşılaştırılmıştır. Tablo 1'de görüldüğü gibi 17802 ile 30140 hücre sayılarında hesaplanan ortalama Nusselt sayıları arasındaki farkın %1'in altına inmesinden dolayı nihai çözümlere 30140 hücre sayısı ile devam edilmiştir.

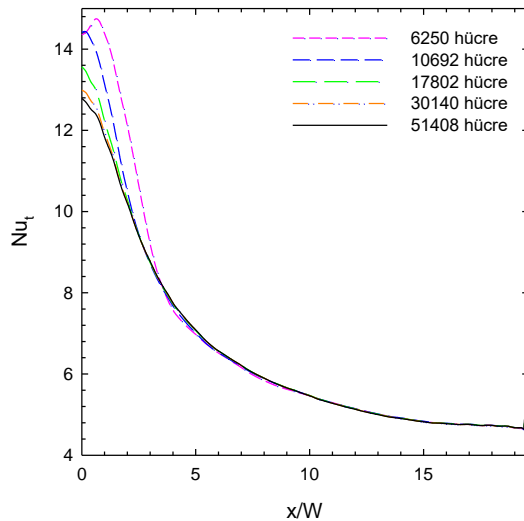


Şekil 2. Analizlerde kullanılan ağ yapısı

Tablo 1. Ağ bağımsızlık çalışmasına ait sonuçlar

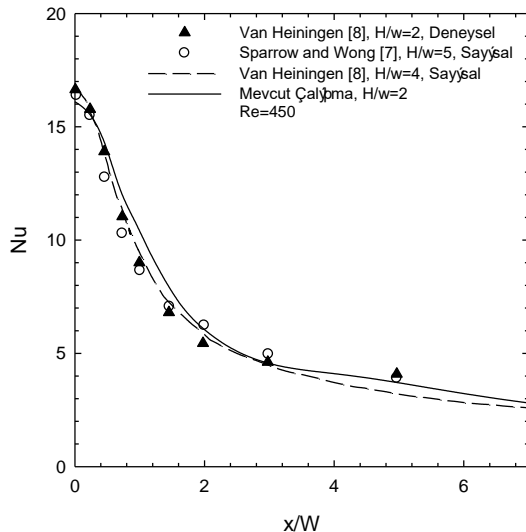
Hücre Sayısı	Nu _{t,ave}	% Bağlı Hata
6250	6.712	-
10692	6.563	2.220
17802	6.495	1.046
30140	6.467	0.427
51408	6.458	0.143

Ayrıca, seçilen her bir hücre sayısında referans durum ($\alpha=0^\circ$) için, $Ri=0.1$ ve $\varepsilon=0.95$ değerlerinde hedef plaka yüzeyinde toplam Nusselt sayısının (Nu_t) değişimi Şekil 3'te sunulmuştur. Şekil 3'te görüldüğü gibi hücre sayısının görece düşük olduğu ilk üç sıklığı için durma noktasında yerel Nusselt sayısı değişiminde belirgin farklar ortaya çıkmaktadır. Bununla birlikte, duvar jeti bölgesinde tüm ağ sıklıkları için hesaplanan Nu_t değerleri birbirlerine oldukça yakındır. Son iki ağ sıklığında ise hem durma noktasında hem de duvar jeti bölgesinde Nu_t değerleri birbirleri ile oldukça uyumludur. Dolayısıyla, Çizelge 1'de belirtildiği gibi nihai hesaplamalar için 30140 hücre kullanımının yeterli olduğu değerlendirilmiştir.



Şekil 3. Farklı hücre sayıları için hedef plaka yüzeyinde Nu_t değişimi

Çözüm algoritmasının güvenirlliğini test etmek amacıyla mevcut çalışmaya ait sonuçlar literatürdeki deneySEL ve sayısal verilerle karşılaştırılmıştır. Bu amaçla $Re_j=450$ 'de hedef plaka yüzeyindeki yerel Nusselt sayısı değişimi Sparrow ve Wong [7] ile Van Heiningen [8]'e ait deneySEL ve sayısal veriler ile karşılaştırılmış ve sonuçların literatürdeki sonuçlar ile iyi bir uyum yakaladığı görülmüştür.



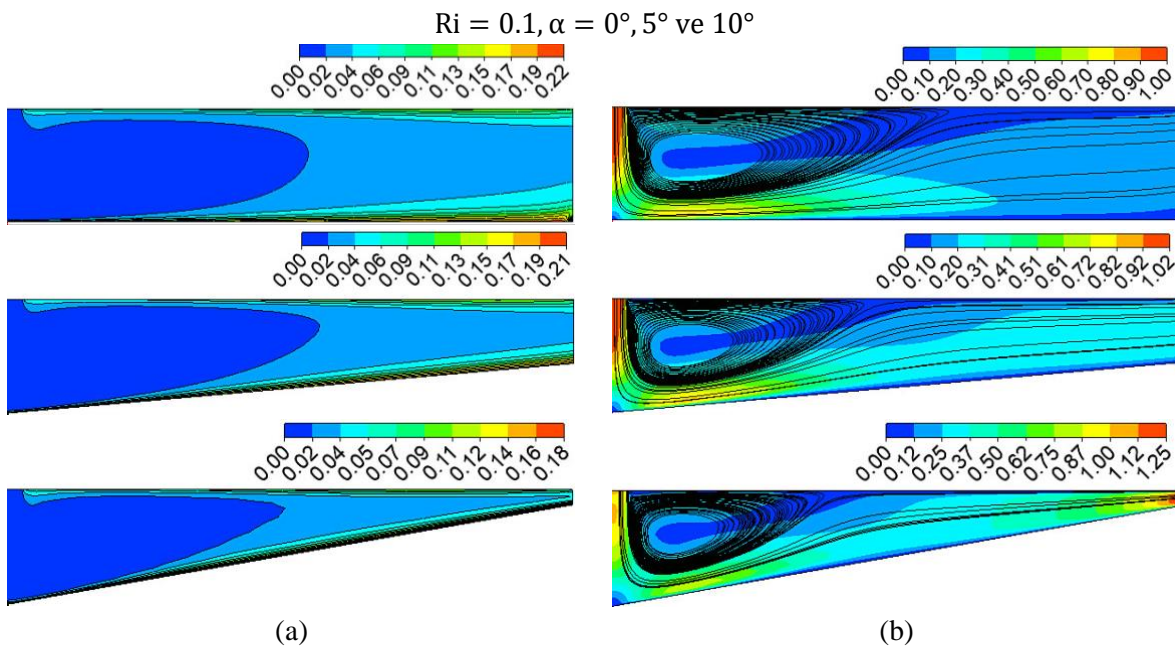
Şekil 4. Mevcut çalışmaya ait sonuçları literatürdeki veriler ile karşılaştırılması

III. BULGULAR

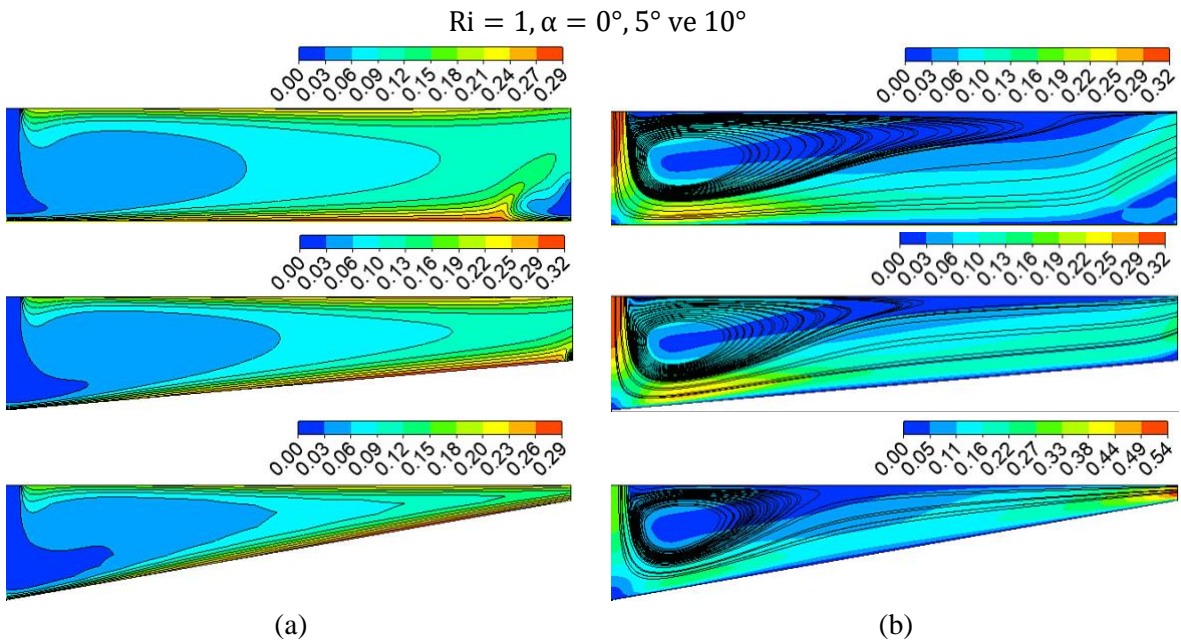
Bu çalışmada, sabit yüzey ısı akısı ile ısıtılan ve değişken eğime sahip bir levhanın tek bir slot jet ile soğutulmasında yüzeyler arası ışınımla ısı transferi ve kaldırma kuvvetinin genel ısı transfer performansına etkileri sayısal olarak incelenmiştir. Bu amaçla, farklı Richardson sayıları ($Ri=0.1, 1$ ve 10), yüzey yayıcılığı ($\varepsilon=0.05, 0.5$ ve 0.95) değerleri ve eğim açıları ($\alpha=0^\circ, 5^\circ$ ve 10°) için çalışmalar gerçekleştirilmiş olup ilgili parametrelerin sıcaklık ve hız bölgeleri ile yerel ve ortalama ısı transfer karakteristiklerine etkileri değerlendirilmiştir.

Şekil 5, 6 ve 7'de sırasıyla $Ri=0.1, 1$ ve 10 için farklı eğim açılarında boyutsuz sıcaklık ve hız konturları sunulmuştur. Kontur grafikleri hedef plaka ve adyabatik yüzeylerin yüzey yayıcılığının $\varepsilon=0.95$ 'e eşit olduğu durumlar için elde edilmiştir. $Ri=0.1$ değerinde, viskoz kuvvetler kaldırma kuvvetlerine baskın olduğundan dolayı zorlanmış taşınım akışı domine etmektedir. Bu sebeple, jet nozulunun çıkışında jet akışı ve durgun akışkan arasındaki kayma sınır tabakasına bağlı olarak gelişen ikincil akışın dışında akış bölgesinde başka bir noktada kuvvetli bir ikincil akış meydana gelmemektedir. Ancak, çıkışta akım çizgileri hafifçe yukarı yönelmekte ve hedef plakanın hemen üstünde zayıf bir ters akış oluşmaya başlamaktadır. Jet nozulunun çıkışında, jetin sağında ortaya çıkan ikincil akış hücresi ise hedef plakanın eğim açısının artışıyla küçülmektedir. Hız konturlarından görüldüğü gibi, jetin gelişme bölgesi ile duvar jeti bölgesinin başlangıcında hava hızı oldukça yüksektir. Sonrasında ise, hedef plaka ile hava arasındaki kayma gerilmesinin sonucunda hava hızı çıkışa doğru azalmaktadır. Ancak, $\alpha=10^\circ$ iken çıkış kesitinin oldukça daralmasından dolayı en yüksek hız bu bölgede görülmekte ve çıkıştaki hava hızı jet hızının yaklaşık olarak 1.25 katına çıkmaktadır. $Ri=0.1$ 'deki sıcaklık konturları incelendiğinde, yüzeyler arasındaki ışınımla ısı transferinin sonucunda adyabatik yüzey ısınmakta ve bu bölgede ısıl sınır tabaka oluşumu gözlemlenmektedir. $Ri=0.1$ 'de hava hızının yüksek olmasından dolayı ısıl sınır tabaka kalınlıkları oldukça düşüktür. Bu durum eğim açısının artışıyla belirginleşir. Şekil 6'da viskoz kuvvetler ile kaldırma kuvvetinin dengede olduğu $Ri=1$ 'de elde edilen sıcaklık ve hız konturları sunulmuştur. Hız konturları incelendiğinde, $\alpha=0^\circ$ de kaldırma kuvvetinin etkisiyle hava yukarı doğru yönelmeye, akış bölgesinin çıkışında hedef plaka yakınında ters akış meydana gelmektedir. Plaka eğiminin artışıyla birlikte çıkışta oluşan ters akış zayıflamakta ve $\alpha=10^\circ$ de tamamen ortadan kalkmaktadır. Sıcaklık konturları incelendiğinde kaldırma kuvvetinin akış bölgesi içerisindeki sıcaklık değişimine etkileri $Ri=1$ 'de daha belirgindir. $\alpha=0^\circ$ de çıkıştaki ters akış soğuk havanın akış bölgесine girmesine sebep olurken akışkanın yukarı yönlü hareketine bağlı olarak ısıl sınır tabaka da yukarı yönde genişlemektedir. Şekil 7'de kaldırma kuvvetlerinin viskoz kuvvetlere baskın olduğu $Ri=10$ 'daki sıcaklık ve hız konturları sunulmuştur. Hız konturları incelendiğinde, $\alpha=0^\circ$ de jetin komşuluğundaki ve çıkıştaki ters akışa bağlı

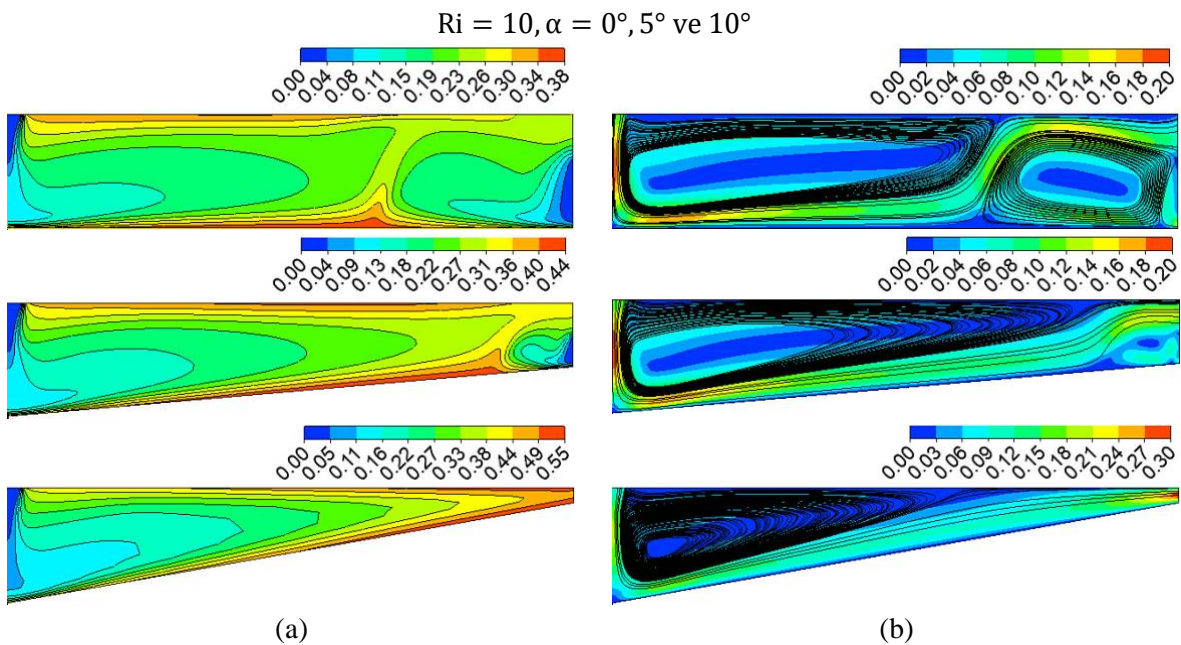
olarak ortaya çıkan resirkülasyon hücrelerinin akışı domine ettiği görülmektedir. Bu durum, $Ri=10$ 'da doğal taşının zorlanmış taşınımı baskın geldiğini kanıtlamaktadır. $Ri=0.1$ ve 1 için elde edilen bulgular $Ri=10$ için de geçerli olup plaka eğiminin artışı çıkışa yakın bölgede oluşan resirkülasyonu zayıflatmaktadır ve bu bölgede özellikle $\alpha=10^\circ$ de ana akışın momentumu çıkışındaki ikincil akış hücresine baskın gelmektedir. Sıcaklık konturları incelendiğinde, $Ri=10$ 'da $Ri=0.1$ ve 1'e oranla ısıl sınır tabaka kalınlığının daha fazla olduğu ve akış bölgesindeki hava sıcaklığının çok daha yüksek olduğu görülmektedir. Yukarıda belirtildiği gibi, $Ri=10$ 'da ikincil akışların baskın olmasından dolayı hedef plaka ile etkileşimde olan soğuk hava ısınarak ikincil akış hücreleri ile adyabatik yüzeye taşımaktadır. Bu durum $\alpha=10^\circ$ de ortadan kalkmaktadır. $Ri=10$ 'da jet hızı oldukça düşük olduğundan dolayı $\alpha=10^\circ$ de daralan çıkış kesiti blokaj etkisi yaratmakta ve akış bölgesinin çıkışında hava sıcaklığı incelenen diğer çalışma durumlarına oranla çok daha yüksek olmaktadır.



Sekil 5. $Ri = 0.1, \theta = 0^\circ, 5^\circ$ ve 10° için elde edilen (a) boyutsuz sıcaklık konturları, (b) üst üste bindirilmiş boyutsuz hız konturları ve akım çizgileri ($\varepsilon=0.95$)



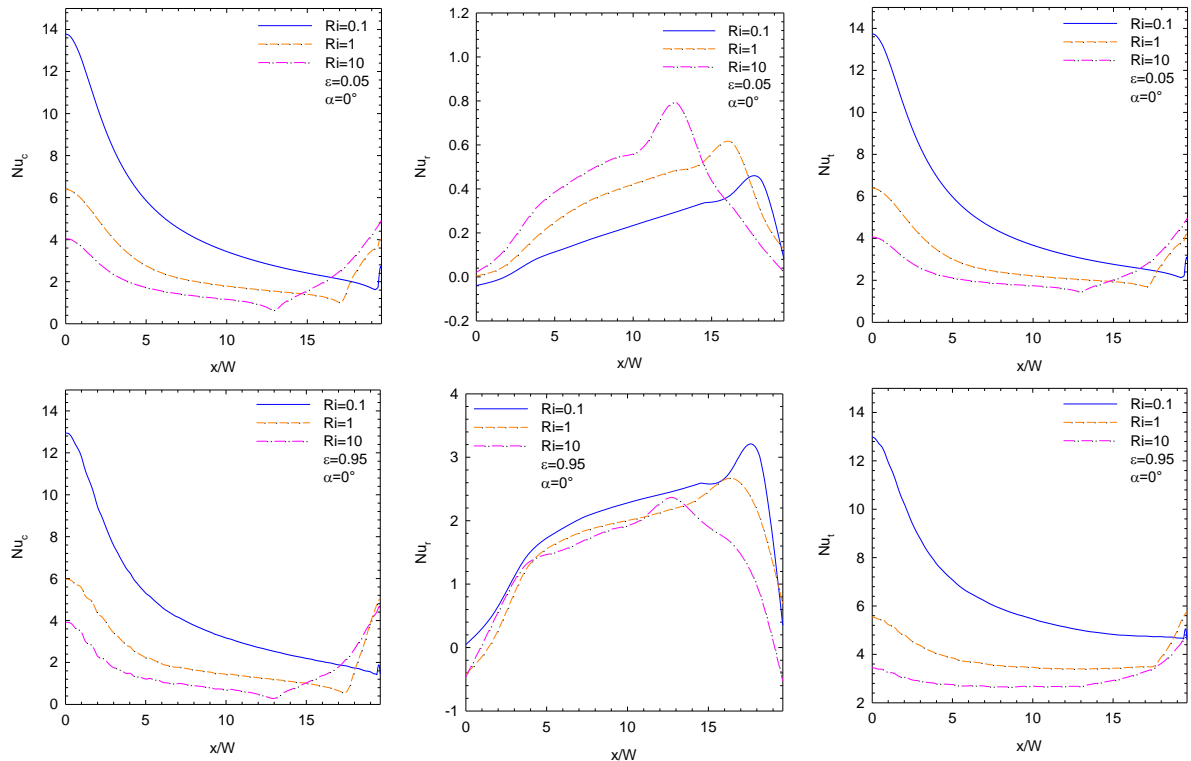
Şekil 6. $Ri = 1, \alpha = 0^\circ, 5^\circ$ ve 10° için elde edilen (a) boyutsuz sıcaklık konturları, (b) üst üste bindirilmiş boyutsuz hız konturları ve akım çizgileri ($\varepsilon=0.95$)



Şekil 7. $Ri = 10, \alpha = 0^\circ, 5^\circ$ ve 10° için elde edilen (a) boyutsuz sıcaklık konturları, (b) üst üste bindirilmiş boyutsuz hız konturları ve akım çizgileri ($\varepsilon=0.95$)

Şekil 8'de $\alpha=0^\circ$ için $Ri=0.1-1-10$ ve $\varepsilon=0.05-0.95$ değerlerinde hedef plaka üzerindeki yerel Nusselt sayısı değişimi sunulmuştur. $Ri=0.1$ ve $\varepsilon=0.05$ için hedef plaka boyunca Nu_c değişimi incelemişinde yüksek jet hızına bağlı olarak çarpma bölgesinde taşınımıla ısı transferinin oldukça yüksek olduğu, çıkışa doğru Nu_c değerlerinin azaldığı ve çıkışındaki zayıf ters akışa bağlı olarak ani bir artış sergilediği görülmektedir. Yüzeydeki Nu_r değişimi incelemişinde çarpma bölge ve duvar jeti bölgesinin başlangıcında yüksek hava hızına bağlı olarak yüzeyler arası ışınımla ısı transferinin zayıf olduğu, duvar jeti bölgesinde hava hızının azalmasına bağlı olarak Nu_r değerlerinin arttığı görülmektedir. Ancak, çıkış bölgesindeki zayıf ikincil akış Nu_c 'nın aksine Nu_r 'nın azalmasına sebep olmaktadır. Hedef plaka

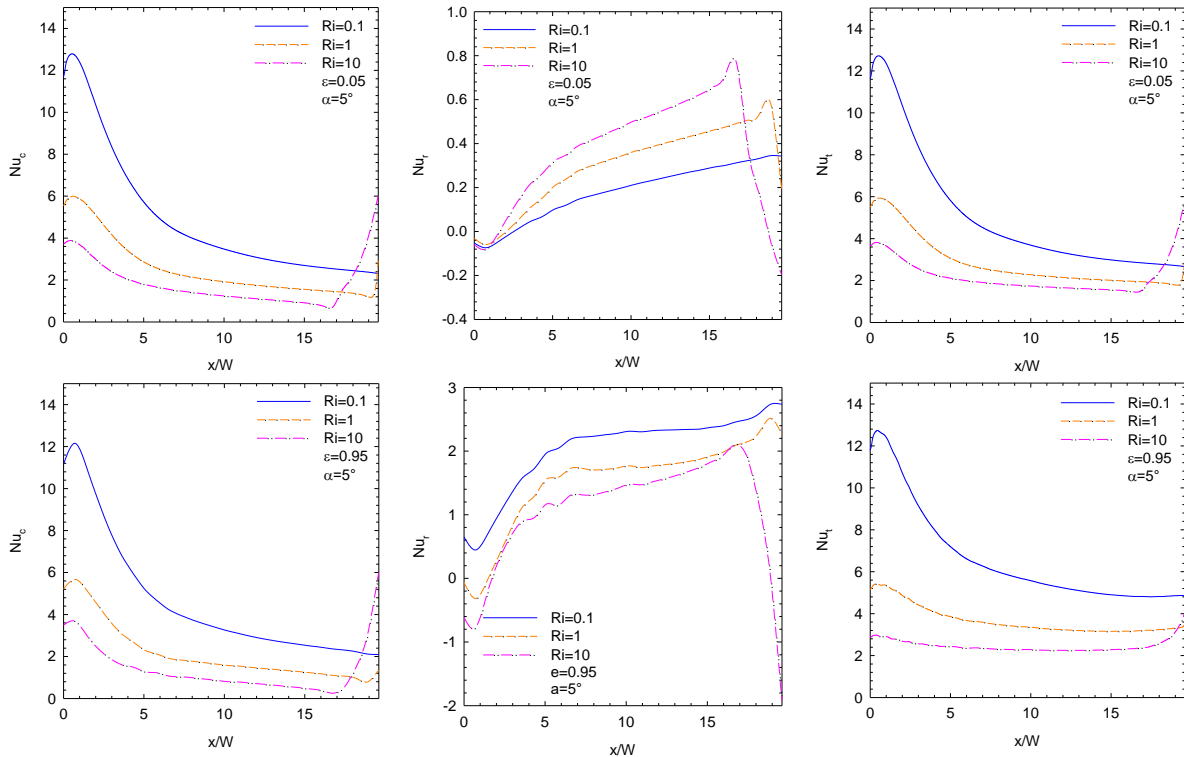
boyunca Nu_t değişimi incelendiğinde, yüzeydeki toplam ısı transferindeki (taşınım ve ışınım) değişim trendinin Nu_c ile benzer olduğu görülmekte olup bu durum yüzeyler arası ışınımın $Ri=0.1$ ve $\varepsilon=0.05$ 'te oldukça zayıf olmasından kaynaklanmaktadır. $Ri=1-10$ ve $\varepsilon=0.05$ 'te ise çarpma bölgesinde düşük jet hızına bağlı olarak Nu_c ve Nu_t 'nın $Ri=0.1$ 'e oranla daha düşük olduğu, kaldırma kuvvetinin akışı domine etmesine bağlı olarak çıkıştaki ters akış bölgesinin genişlediği ve zayıf ikincil akışların görüldüğü bu bölgede Ri 'nin artışıyla birlikte Nu_t 'nın da arttığı görülmektedir. $\varepsilon=0.95$ değerinde ise yüzeyler arası ışınım etkileşimi çok daha belirgin olduğundan dolayı Nu_r değerleri $\varepsilon=0.05$ 'teki değerlere oranla çok daha yüksektir. Burada dikkat edilmesi gereken nokta, Şekil 6 ve 7'de görüldüğü gibi hedef plaka ile temas eden akışkanın kaldırma kuvvetinin etkisiyle adyabatik yüzeye doğru yükselmesidir. Akış bölgesi içerisindeki saat yönünün tersi yönde dönmekte olan ana resirkülasyon hücresinin varlığına bağlı olarak jet nozulu yakınında adyabatik yüzey üzerindeki ısı sınır tabaka kalınlığı artmaktadır. Benzer bir durum çıkış yakınında de geçerlidir. Saat yönündeki resirkülasyonla birlikte, ışınan hava adyabatik yüzeye doğru yükselmekte ve akış bölgesini terk etmektedir. Dolayısıyla, her iki bölgede de adyabatik yüzeyin sıcaklığı hedef plaka sıcaklığından fazladır. Sonuç olarak, ışınımıla ısı transferinin yönüne bağlı olarak her iki bölgede de Nu_r negatif olup bu durum Nu_c ve Nu_t değişim trendlerinin birbirlerinden farklılaşmasına sebep olur. ışınımıla ısı transferinin yönü durma bölgesi ve akış bölgesinin çıkışında hedef plakadan olan toplam ısı transferini zayıflatmaktadır.



Şekil 8. $\alpha = 0^\circ$ ve farklı Ri değerlerinde hedef plaka üzerinde Nu_c , Nu_r ve Nu_t değişimi

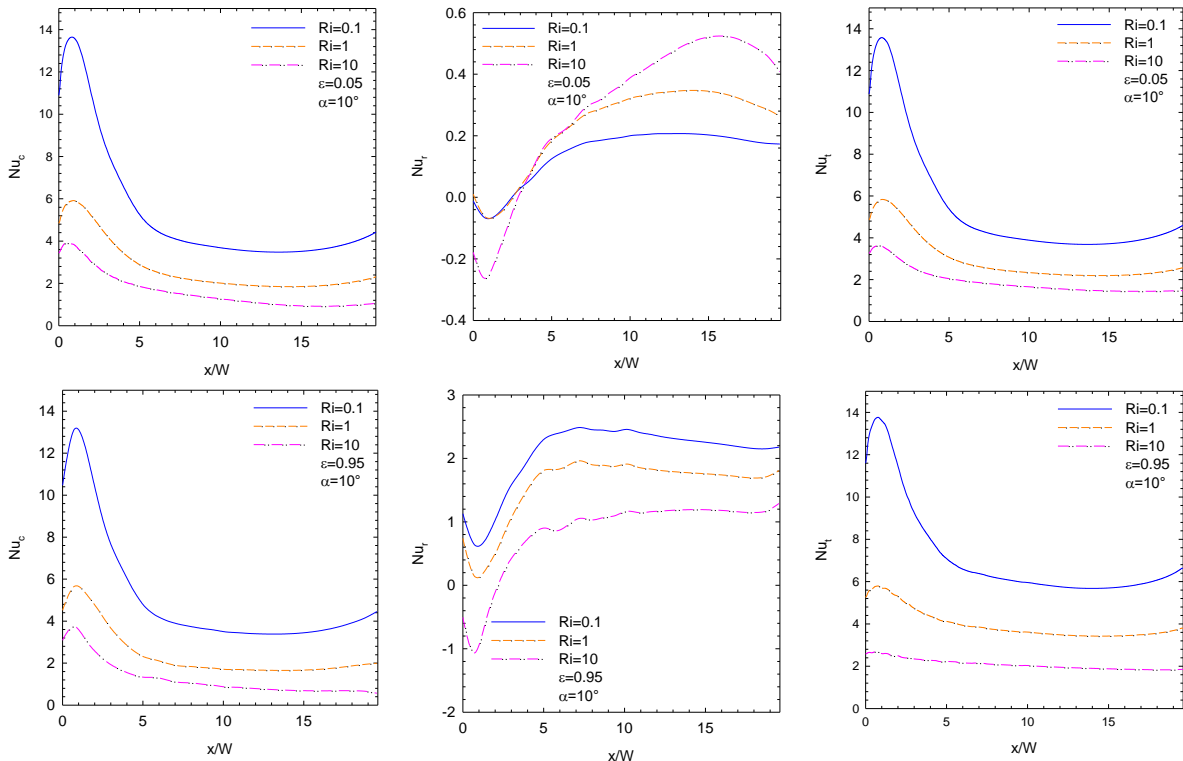
Şekil 9'da $\alpha=5^\circ$ için $Ri=0.1-1-10$ ve $\varepsilon=0.05-0.95$ değerlerinde hedef plaka üzerindeki yerel Nusselt sayısı değişimi sunulmuştur. Yukarıda belirtildiği gibi hedef plakanın eğiminin artışı ile ana akışın momentumundaki artışa bağlı olarak çıkıştaki ters akış zayıflamakta ve resirkülasyon hücresi küçülmektedir. $\varepsilon=0.05$ 'te hedef plaka boyunca Nu_c değişimi incelendiğinde $\alpha=0^\circ$ 'ye benzer şekilde $Ri=0.1$ 'de ışınımıla ısı transferinin çarpma bölgesinde oldukça yüksek olduğu, çıkış doğrular ise Nu_c 'nın azaldığı görülmektedir. $Ri=1$ ve 10 'da ise kaldırma kuvvetinin artan etkisi çıkıştaki ters akışın şiddetini artırmaktadır. Buna bağlı olarak, $Ri=10$ 'da çıkış bölgesindeki Nu_c çarpma bölgesinde daha yüksektir. Bu bölgede ışınımıla ısı transferinin artışına bağlı olarak ışınımıla ısı transferinde keskin bir azalma görülmektedir. Çarpma bölgesinde, her üç Ri değeri için de Nu_r değerleri sıfıra oldukça yakının duvar jeti bölgesinde artış meydana gelmektedir. Toplam ısı transferinin değişimi incelendiğinde ise yüzeydeki

değişimin taşınımla ısı transferine benzer olduğu, ancak çıkış bölgesinde Nu_r değişiminin özellikle $Ri=10$ 'da toplam ısı transferini az da olsa zayıflattığı görülür. $\varepsilon=0.95$ 'te ise yüzeyler arası işnimle ısı transferi etkisini artırmakta olup çarpma bölgesi ve çıkış bölgesi haricinde hedef plakadan işnimle ısı transferinin toplam ısı transferini iyileştirdiği görülür. ε değerinin artışı yüzeyler arası işnimin toplam ısı transferine etkisini artırırken bu katkı Nu_t değişiminden de net şekilde görülür. Durma bölgesi ve çıkışta yüzeyler arası işnim yukarıda belirtildiği gibi toplam ısı transferini zayıflatırken duvar jeti bölgesinde toplam ısı transferinde iyileşmeye sebep olur.



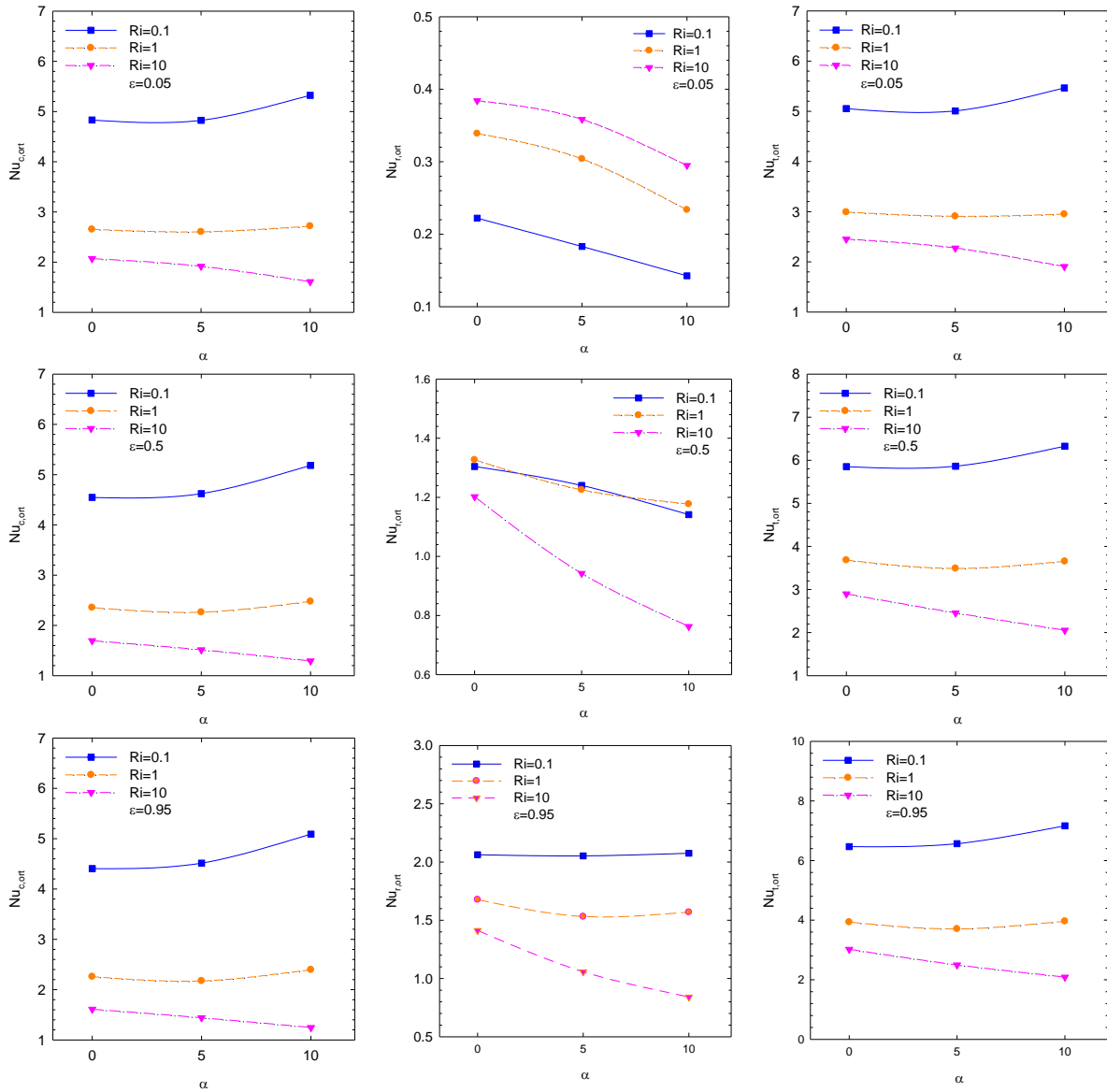
Şekil 9. $\alpha = 5^\circ$ ve farklı Ri değerlerinde hedef plaka üzerinde Nu_c , Nu_r ve Nu_t değişimi

Şekil 10'da $\alpha=10^\circ$ için $Ri=0.1-1-10$ ve $\varepsilon=0.05-0.95$ değerlerinde hedef plaka üzerindeki yerel Nusselt sayısı değişimi sunulmuştur. $\alpha=10^\circ$ de çıkış kesitindeki daralmanın çok belirgin olmasından dolayı çıkışta ana akışın momentumunu artırmakta olup $\alpha=0^\circ$ ve 5° de görülen ters akışı engellemektedir. Bunun sonucunda, akış bölgesinin çıkışında Nu_c ve Nu_t bir miktar artarken keskin artışlar meydana gelmemektedir. $Ri=0.1$ 'de hava hızının diğer Ri değerlerine göre oldukça yüksek olması çıkışta taşınımla ısı transferi ve toplam ısı transferini az da olsa iyileştirmektedir. Ancak, $Ri=1$ ve 10 'da çıkış bölgesinde ısı transferinde belirgin bir iyileşme yoktur. İşnimle ısı transferi ise hem $\varepsilon=0.05$ 'te hem de $\varepsilon=0.95$ 'te çarpma bölgesinde sıfırda oldukça yakın olup duvar jeti bölgesi ve çıkışa yakın bölgede ise toplam ısı transferini iyileştirmektedir. $\alpha=10^\circ$ de Nu_t 'nın değişim trendi $\alpha=0^\circ$ ve 5° de ortaya çıkan değişim trendinden oldukça farklıdır. Ana akışın momentumundaki artış çıkış bölgesinde ters akış oluşumunu engellerken bu bölgede sıcaklık gradyanlarının ani değişiminin önüne geçmektedir. Bu durum Nu_c ve Nu_t 'nın çıkış bölgesinde keskin şekilde artmasını ya da azalmasını engellemektedir.



Şekil 10. $\alpha = 10^\circ$ ve farklı Ri değerlerinde hedef plaka üzerinde Nu_c , Nu_r ve Nu_t değişimi

Şekil 11'de farklı plaka eğimleri, Richardson sayıları ve yüzey yayıcılık değerleri için ortalama Nusselt sayısı değişimi karşılaştırmalı olarak sunulmuştur. Grafiklerden görüldüğü üzere, yapılan tüm ϵ değerlerinde $Ri=0.1$ 'de $Nu_{c,ort}$ ve $Nu_{t,ort}$ hedef plakanın eğiminin artışıyla birlikte artmaktadır. Bu durum, yukarıda belirtildiği gibi $Ri=0.1$ 'de viskoz kuvvetlerin kaldırma kuvvetlerine baskın olmasından dolayı kesit daralmasına bağlı olarak çıkış bölgeinde ana akış momentumunun artışından kaynaklanmaktadır. Benzer bir çıkarım $Ri=1$ için de yapılabilir. Ancak, kaldırma kuvvetleri ve viskoz kuvvetlerin dengede olduğu $Ri=1$ 'de $Nu_{c,ort}$ ve $Nu_{t,ort}$ 'nın α ile değişimi $Ri=0.1$ 'e kıyasla daha sınırlıdır. $Ri=10$ 'da ise plaka eğiminin artışı tüm ϵ değerlerinde $Nu_{c,ort}$ ve $Nu_{t,ort}$ 'yu azaltır. $Ri=10$ 'da kaldırma kuvvetlerinin viskoz kuvvetlere baskın olmasından dolayı çıkış bölgeinde ikincil akışlar etkindir. Ancak, plaka eğiminin artışı çıkışta taşınımla ısı transferinin artışını sınırlamaktadır. $Nu_{r,ort}$ 'nın α ve ϵ ile değişimi incelendiğinde, $\epsilon=0.05$ iken Richardson sayısının artışının yüzeyler arasındaki ışınımla ısı transferini zayıflattığı görülmektedir. Bununla birlikte, $\epsilon=0.5$ iken $Ri=0.1$ ve 1 için farklı plaka eğimlerinde $Nu_{r,ort}$ değerlerinin birbirlerine oldukça yakın olduğu ve tüm Ri değerlerinde plaka eğiminin artışı ile ışınımla ısı transferinin zayıfladığı görülür. $\epsilon=0.95$ 'te ise $Ri=0.1$ değerinde $Nu_{r,ort}$ 'nın plaka eğiminden neredeyse etkilenmediği, $Ri=1$ ve 10'da ise plaka eğimindeki artışın yüzeyler arası ışınımla ısı transferini zayıflattığı görülmektedir.



Şekil 11. Farklı α , ϵ ve Ri değerleri için ortalama Nusselt sayısı değişimi

IV. SONUÇ

Bu çalışmada, eğim açısı değişken olan bir levhanın çarpan jet ile soğutulmasında plaka eğimi ($\alpha=0^\circ$, 5° ve 10°), kaldırma kuvveti ($Ri=0.1$, 1 ve 10) ve yüzeyler arası ıshınlı ıshı transferinin akış ve ıshı transfer karakteristiklerine etkileri farklı yüzey yayıcılıklarında ($\epsilon=0.05$, 0.5 ve 0.95) sayısal olarak analiz edilmiştir. Çalışma kapsamında elde edilen önemli sonuçlar aşağıda sıralanmıştır:

- Richardson sayısının ikincil akışlar ve sıcaklık dağılımı üzerinde önemli etkileri bulunmaktadır. $Ri=0.1$ 'de akış bölgesi içerisinde kuvvetli ikincil akışlar olumsuzken, $Ri=1$ ve 10'da ise kaldırma kuvvetinin etkisinin artışıyla çıkış bölgesindeki ters akışın kapsadığı bölge genişlemektedir.
- Richardson sayısı arttıkça kaldırma kuvvetinin etkisi arttıgından dolayı akış bölgesi içerisinde oluşan resirkülasyon hücreleri akışı domine etmektedir.
- Hedef plaka eğiminin artışı ile ana akışın artan momentumu çıkışta ters akış oluşumunu engellemektedir.

- Çarpma bölgesi ve çıkışta taşınımıla ısı transferi duvar jeti bölgесine oranla daha yüksektir.
- Yüzeyler arası ıshınımla ısı transferi yüzey yayıcılığının artışıyla artmakta olup ıshınımin toplam ısı transferi içerisindeki payı da artmaktadır.
- Taşınımıla ısı transferinin yüksek olduğu bölgelerde ıshınımla ısı transferi daha zayıftır.
- Isıl sınır tabaka gelişimine bağlı olarak durma bölgesi ve çıkışa yakın bölgelerde ıshınımla ısı transferi adyabatik yüzeyden hedef plakaya doğru gerçekleşmektedir.
- $R_i=0.1$ 'de toplam ısı transferi plaka eğimi ile artmakta, $R_i=1$ 'de belirgin bir artış meydana gelmemektedir. $R_i=10$ 'da ise plaka eğiminin artışı toplam ısı transferini zayıflatmaktadır.

V. KAYNAKLAR

- [1] J. Ferrari, N. Lior, and J. Slycke, "An evalutaion of gas quenching of steel rings by multiple-jet impingement", *Journal of Materials Processing Technology*, vol. 136, pp. 190-201, 2003.
- [2] N. Zuckerman and N. Lior, "Jet impingement heat transfer: physics, correlations, and numerical modeling", *Advances in Heat Transfer*, vol. 39, pp. 565-631, 2006.
- [3] M. Albayrak, B. Sarper, M. Saglam, S. Birinci, and O. Aydin, "The role of jet-to-crossflow velocity ratio on convective heat transfer enhancement in the cooling of discrete heating modules", *Thermal Science and Engineering Progress*, vol. 37, 101549, 2023.
- [4] R. Gardon and J.C. Akfirat, "The role of turbulence in determining the heat transfer characteristics of impinging jets", *International Journal of Heat and Mass Transfer*, vol. 8, pp. 1261-1272, 1965.
- [5] F.F. Cadek, "A fundamental investigation of jet impingement heat transfer", Ph.D. thesis, University of Cincinnati, 1965.
- [6] H. Miyazaki and E. Silberman, "Flow and heat transfer on a flat plate normal to a two-dimensional laminar jet issuing from a nozzle of finite height", *International Journal of Heat and Mass Transfer*, vol. 15, pp. 2097-2107, 1972.
- [7] E.M. Sparrow and T.C. Wong, "Impingement transfer coefficients due to initially laminar slot jets", *International Journal of Heat and Mass Transfer*, vol. 18, pp. 597-605, 1975.
- [8] A.R.P. Van Heiningen, "Heat transfer under an impinging slot jet", Ph.D. Thesis, McGill University, Monteal, Quebec, 1982.
- [9] V.K. Garg and S. Jayaraj, "Boundary layer analysis for two-dimensional slot jet impingement on inclined plates", *Journal of Heat Transfer*, vol. 110, pp. 577-582, 1988.
- [10] T.D. Yuan, J.A. Liburdy, and T. Wang, "Buoyancy effects on laminar impinging jets", *International Journal of Heat and Mass Transfer*, vol. 31, pp. 2137-2145, 1988.
- [11] D. Lytle and B.W. Webb, "Air jet impingement heat transfer at low nozzle-plate spacings", *International Journal of Heat and Mass Transfer*, vol. 37, pp. 1687-1697, 1994.
- [12] Z.H. Lin, Y.J. Chou, and Y.H. Hung, "Heat transfer behaviors of a confined slot jet impingement", *International Journal of Heat and Mass Transfer*, vol. 40, pp. 1095-1107, 1997.
- [13] G. Yang, M. Choi, and J.S. Lee, "An experimental study of slot jet impingement cooling on concave surface: effects of nozzle configuration and curvature", *International Journal of Heat and Mass Transfer*, vol. 42, pp. 2199-2209, 1999.

- [14] C. Cornaro, A.S. Fleischer, M. Rounds, and R.J. Goldstein, “Jet impingement cooling of a convex semi-cylindrical surface”, *International Journal of Thermal Sciences*, vol. 40, pp. 890-898, 2001.
- [15] V.A. Chiriac and A. Ortega, “A numerical study of the unsteady flow and heat transfer in a transitional confined slot jet impinging on an isothermal surface”, *International Journal of Heat and Mass Transfer*, vol. 45, pp. 1237-1248, 2002.
- [16] D. Sahoo and M.A.R. Sharif, “Mixed-convective cooling of an isothermal hot Surface by confined slot jet impingement”, *Numerical Heat Transfer, Part A: Applications*, vol. 45, pp. 887-909, 2004.
- [17] M. Angioletti, E. Nino, and G. Ruocco, “CFD turbulent modelling of jet impingement and its validation by particle image velocimetry and mass transfer measurements”, *International Journal of Thermal Sciences*, vol. 44, pp. 349-356, 2005.
- [18] G. Hu and L. Zhang, “Experimental and numerical study on heat transfer with impinging circular jet on a convex hemispherical surface”, *Heat Transfer Engineering*, vol. 28, pp. 1008-1016, 2007.
- [19] M.S.J. De Lemos and C. Fischer, “Thermal analysis of an impinging jet on a plate with and without a porous layer”, *Numerical Heat Transfer, Part A: Applications*, vol. 54, pp. 1022-1041, 2008.
- [20] S. Abishek and R. Narayanaswamy, “Coupled effects of surface-radiation and buoyancy on jet-impingement heat transfer”, *Journal of Heat Transfer*, vol. 39, pp. 1631-1638, 2012.
- [21] A.S. Cavadas, F.T. Pinho, and J.B.L.M. Campos, “Laminar flow field in a viscous liquid impinging jet confined by inclined plane walls”, *International Journal of Thermal Sciences*, vol. 59, pp. 95-110, 2012.
- [22] E. Oztekin, O. Aydin, and M. Avci, “Hydrodynamics of a turbulent slot jet impinging on a concave surface”, *International Communications in Heat and Mass Transfer*, vol. 39, pp. 1631-1638, 2012.
- [23] E. Oztekin, O. Aydin, and M. Avci, “Heat transfer in a turbulent slot jet flow impinging on concave surfaces”, *International Communications in Heat and Mass Transfer*, vol. 44, pp. 77-82, 2013.
- [24] B. Yousefi-Lafouraki, A. Ramiar, and, A. Ranjbar, “Laminar forced convection of a confined slot impinging jet in a converging channel”, *International Journal of Thermal Sciences*, vol. 77, pp. 130-138, 2014.
- [25] M.A.R. Sharif, “Heat transfer from an isothermally heated flat surface due to confined laminar twin oblique slot-jet impingement”, *Journal of Thermal Science and Engineering Applications*, vol. 7, pp. 1-11, 2015.
- [26] Z. Ying, L. Guiping, B. Xueqin, B. Lizhan, and W. Dongsheng, “Experimental study of curvature effects on jet impingement heat transfer on concave surfaces. *Chinese Journal of Aeronautics*, vol. 30, pp. 586-594, 2017.
- [27] R. Ekiciler, M. Samet, A. Cetinkaya, and K. Arslan, “Effect of shape of nanoparticle on heat transfer and entropy generation of nanofluid-jet impingement cooling”, *International Journal of Green Energy*. vol. 17, pp. 555-567, 2020.
- [28] E. Pulat and E. Beyazoglu, “Computational investigation of confined wall inclination effects on

impinging jet fluid flow and heat Transfer”, *International Journal of Thermal Sciences*, vol. 163, pp. 106749, 2021.

[29] S.H. Han, H.J. Park, Y.H. Kim, and D.H. Lee, “The effects of thermal boundary conditions on the heat transfer characteristics of laminar flow in mili-scale confined impinging slot jets”, *International Journal of Heat and Mass Transfer*, vol. 168, 120865, 2021.

[30] M. Albayrak, B. Sarper, S. Birinci, M. Saglam, and O. Aydin, “Effect of surface radiation on jet impingement cooling of a concave surface”, *International Symposium on Convective Heat and Mass Transfer*, June 5-10 2022, Izmir-Turkey.

[31] P. Singh, Y. Aider, and I., Kaur, Swirl jet impingement heat transfer: effect of jet-to-target spacing, jet Reynolds number and orientation with flat target”, *International Journal of Thermal Sciences*, vol. 184, 107993, 2023.

[32] Y. Zhou, M. Wang, M. Wang, and Y. Wang, “Predictive accuracy of Boussinesq approximation in opposed mixed convection with a high-temperature heat source inside a building”, *Building Environment*, vol. 144, pp. 349-356, 2018.

[33] Ansys Inc., “Ansys Fluent, Release 21 R2, Theory Guide”, 2021.

[34] B. Sarper, M. Saglam, and O. Aydin, “Constructal placement of discrete heat sources with different lengths in vertical ducts under natural and mixed convection”, *Journal of Heat and Mass Transfer*, vol. 140, 121401, 2018.

[35] M.A. Gad and C. Balaji, “Effect of surface radiation RBC in cavities heated from below”, *International Communications in Heat and Mass Transfer*, vol. 37, pp. 1459-1464, 2010.

[36] C. Balaji, M. Hölling, and H. Herwig, “Combined laminar mixed convection and surface radiation using asymptotic computational fluid dynamics (ACFD)”, *Heat and Mass Transfer*, vol. 43, pp. 567-577, 2007.